

## اثر سیلیمارین بر فیروز ریوی ناشی از بلئومایسین در موش

لیلا صفاییان<sup>\*</sup>، عباس جعفریان دهکردی<sup>\*\*</sup>، نوشین افشار مقدم<sup>\*\*\*</sup>، شادی سرهودی<sup>\*\*\*\*</sup>

\* فارماکولوژیست، دانشکده داروسازی و علوم دارویی، دانشگاه علوم پزشکی اصفهان، اصفهان، ایران.

\*\* استاد فارماکولوژی، مرکز تحقیقات علوم دارویی، دانشگاه علوم پزشکی اصفهان، اصفهان، ایران.

\*\*\* دانشیار پاتولوژی، دانشکده پزشکی، دانشگاه علوم پزشکی اصفهان، اصفهان، ایران.

\*\*\*\* استاد یار فارماکولوژی، دانشکده پزشکی، دانشگاه علوم پزشکی قم، قم، ایران.

### چکیده

**زمینه و هدف:** سیلیمارین از مواد مؤثره گیاه خار میریم (Silybum Marianum L) می‌باشد که در فیروز کبدی از طریق مکانیسم‌های مختلفی نقش آنتی‌فیروتیک را ایفا می‌کند. با توجه به شباهت در پاتوژن‌بیماری‌های فیروپرولیفراتیو، در این مطالعه اثر سیلیمارین بر فیروز ریوی ناشی از بلئومایسین مورد بررسی قرار گرفت.

**روش بررسی:** در این مطالعه تجربی فیروز ریه در موش با تزریق منفرد داخل تراشه‌ای بلئومایسین (۳/۵ واحد به ازای کیلوگرم) ایجاد گردید. سیلیمارین با دوز ۵۰ میلی‌گرم بر کیلوگرم (داخل صفاقی)، ۲ روز قبل از تجویز بلئومایسین تزریق شد و به صورت روزانه تا ۲ هفته ادامه یافت. در پایان دوره آزمایش ریه‌ها از نظر یافتشناسی و میزان هیدروکسی پرولین ارزیابی شدند. نتایج با استفاده از آزمون ANOVA یک‌طرفه و آزمون تکمیلی دانت مورد ارزیابی قرار گرفتند و مقادیر  $P < 0.05$  معنی‌دار تلقی گردید.

**یافته‌ها:** تزریق داخل تراشه‌ای بلئومایسین موجب افزایش میزان هیدروکسی پرولین ریه ( $P = 0.003$ ) و نیز وزن ریه ( $P = 0.001$ ) شد. سیلیمارین توانست به طور معنی‌داری از افزایش سطح هیدروکسی پرولین ریه جلوگیری نماید ( $P < 0.05$ ). وزن ریه نیز در گروه سیلیمارین مشابه با ریه‌های سالم بود. در بررسی‌های بافت‌شناسی، سیلیمارین توانست تا حدودی از تغییرات پاتولوژیک ناشی از بلئومایسین جلوگیری کند.

**نتیجه‌گیری:** احتمالاً سیلیمارین از طریق جلوگیری از تجمع کلائز و نیز پیشگیری از التهاب در جلوگیری از تغییرات پاتولوژیک بافته در مدل فیروز ریوی ناشی از بلئومایسین در موش مؤثر می‌باشد.

**کلید واژه‌ها:** سیلیمارین؛ بلومایسین؛ فیروز ریه؛ هیدروکسی پرولین.

نویسنده مسئول مکاتبات: دانشکده داروسازی و علوم دارویی، دانشگاه علوم پزشکی اصفهان، اصفهان، ایران؛

آدرس پست الکترونیکی: Isafaeian@yahoo.com

تلفن: ۰۹۱۹۳۲۵۱۰۸۵

تاریخ پذیرش: ۸۸/۱/۲۵

تاریخ دریافت: ۸۷/۱۱/۶

### مقدمه

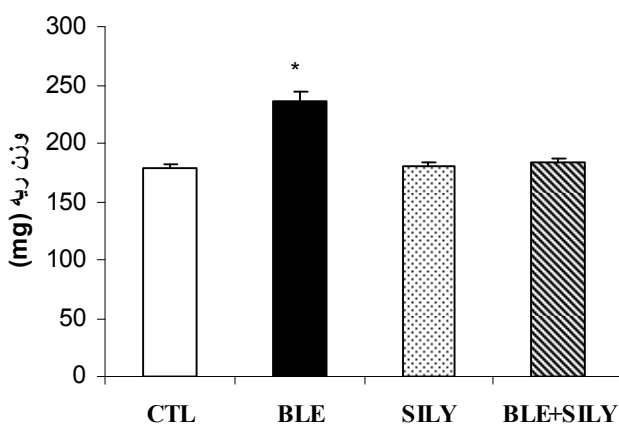
به طور گسترده‌ای همراه با سایر عوامل شیمی درمانی به کار رود. ولی متأسفانه به دلیل بروز عارضه فیروز ریوی، کاربرد این دارو از نظر بالینی بسیار محدود شده است (۱). از آن‌جا که فیروز ریوی ناشی از بلئومایسین به راحتی در گونه‌های مختلف پستانداران ایجاد می‌شود، از مدل‌های تجربی با استفاده از این دارو

بلئومایسین یک داروی شیمی درمانی است که در برابر طیف وسیعی از سرطان‌های انسانی مؤثر می‌باشد. این دارو حداقل اثر سمی را بر بافت‌های خونساز و سیستم ایمنی دارد و چون سمی بودن آن با دیگر داروهای ضد سرطان مشترک نیست، می‌تواند

## روش بررسی

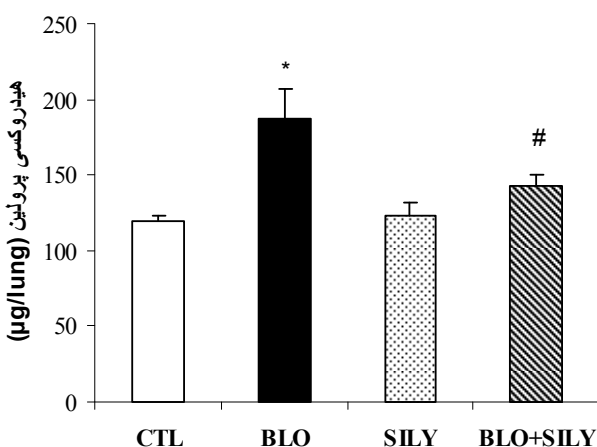
در این مطالعه تجربی از ۲۸ موش ماده نژاد NMRI (انستیتو پاستور ایران، تهران، ایران) با وزن ۳۰-۲۵ گرم استفاده گردید. حیوانات در اتاق مخصوص با درجه حرارت  $22 \pm 3$  سانتی گراد و در شرایط روشنایی و تاریکی ۱۲ ساعته نگهداری شده و دسترسی به آب و غذای کافی داشتند. به منظور ایجاد فیروز ریه در موش از تزریق منفرد داخل تراشه‌ای بلشوامايسین (Nippon Kayaku, Japan) استفاده گردید. بدین منظور موش‌ها با تجویز داخل صفاقی ۷۵ میلی گرم بر کیلو گرم کتابخانه (Rotexmedica, Germany) بیهوش شدند. جهت دسترسی به تراشه، برش جراحی در ناحیه قدامی گردن موش ایجاد شد و محلول تازه تهیه شده‌ی بلشوامايسین با دوز  $3/5$  واحد به ازای کیلو گرم در  $50$  میکرو لیتر نرمال سالین مستقیماً به داخل تراشه تزریق گردید (۱۷). سیلیمارین خردباری شده از Sigma به صورت تازه در PBS (فسفات بافر سالین) سوسپانسیون شده و با دوز  $50$  میلی گرم بر کیلو گرم به صورت داخل صفاقی، ۲ روز قبل از تجویز بلشوامايسین تزریق گردید (۱۸). تجویز سیلیمارین به صورت روزانه تا پایان دوره آزمایش (۲۶) بعد از تجویز بلشوامايسین) ادامه یافت. موش‌ها به چهار گروه ۷ تایی تقسیم شدند: گروه کنترل فیروز که فقط بلشوامايسین دریافت کردند. گروه کنترل سالمند که فقط حامل PBS به صورت داخل صفاقی به آن‌ها داده شد. گروه موش‌های سالمند که  $50$  میلی گرم بر کیلو گرم سیلیمارین دریافت نمودند. گروهی که علاوه بر بلشوامايسین  $50$  میلی گرم بر کیلو گرم سیلیمارین نیز به آن‌ها داده شد. پس از پایان دوره آزمایش (۲۶) حیوانات با دوز بالای کتابخانه ( $100$  میلی گرم بر کیلو گرم) بیهوش و ریه‌ها خارج شده و توزین گردیدند. وزن کل ریه به عنوان شاخص التهاب ریه مورد ارزیابی قرار گرفت (۱۹). لوب راست جهت آزمایشات بیوشیمیایی کنار گذاشته شد و لوب دیگر جهت آزمایشات بافت‌شناسی به مدت ۲۴ ساعت در فرمالین  $10\%$  نگهداری گردید. تمامی مواد مورد نیاز برای آزمایشات بیوشیمیایی و بافت‌شناسی از Sigma و Merck تهیه شدند. برای تخمین میزان تجمع کلائزن در بافت ریه که شاخصی از میزان فیروز می‌باشد، میزان هیدروکسی Woessner پرولین در نمونه هموژنه بافت ریه طبق روش اندازه‌گیری شد (۲۰). بدین منظور به نمونه هموژنه بافت ریه در

به منظور شناخت دقیق مکانیسم رخداد فیروز و راه‌های درمان آن استفاده می‌گردد (۲). مکانیسم‌های متعددی برای فیروز ریه پیشنهاد شده‌اند که از جمله می‌توان به موارد ذیل اشاره نمود: **(الف)** ایجاد آپوپتوز در سلول‌های اپی‌تیال آلتوئلی و برونشیولی به عنوان یک واقعه آغازگر فرآیند فیروز (۳). **(ب)** ایجاد التهاب و افزایش فعالیت آنزیم سیکلواکسیژنаз، ارتضاح سلول‌های التهابی به فضای آلتوئلی و مشارکت نوتروفیل‌ها و ماکروفازهای ریوی در آزادسازی آنزیم‌های پروتولیتیک و واسطه‌های التهابی (۴). **(ج)** دخالت کموکاین‌ها و سیتوکاین‌های پیش‌التهابی مانند اینترلوکین‌ها (TNF- $\alpha$ ، IL-1, IL-5, IL-8)، عامل نکروزدهنده تومور (TGF- $\beta$ ) و عامل فاکتورهای رشد نظری فاکتور رشد مبدل بتا (NF- $\kappa$ B) که بیان ژن‌های این سیتوکاین‌ها را تنظیم می‌کنند (۵، ۶). **(د)** نقش استرس اکسیداتیو و مشارکت گونه‌های فعال اکسیژن و نیتروژن و پراکسیداسیون لیپیدهای غشایی (۷). **(ه)** تخلیه NAD و سیستم آنتی‌اکسیدان طبیعی نظیر گلوتاکتون (۸). **(و)** وجود آهن در بافت ریه که کوفاکتور اصلی در آسیب اکسیداتیو بلشوامايسین به DNA و RNA بوده و نیز کوفاکتور ضروری برای فعالیت آنزیم پرولیل هیدروکسیلاز می‌باشد، که در تشکیل کلائزن نقش دارد (۹، ۱۰). **(ز)** افزایش تولید و تجمع ماتریکس خارج سلولی به ویژه کلائزن توسط فیروبلاست‌ها و بیان بیش از حد مهار کننده‌های بافتی متالوپروتئینازها (TIMP) که از تجزیه کلائزن جلوگیری می‌کنند (۱۱). گیاه خار مريم (Silybum Marianum L) یکی از گیاهان دارویی است که حاوی فلاولیگنان‌های سیلیمارین (سیلیبین، سیلیکریستین، سیلیمونین و...)، فلاونونیدهای استرونول، ساپونین‌ها و غیره می‌باشد (۱۲). خواص فارماکولوژیک متعددی برای این گیاه به اثبات رسیده و مدارک متعددی مبنی بر نقش ضد فیروز سیلیمارین در فیروز کبدی وجود دارند (۱۳-۱۵). از آنجا که پاتوژن‌زیماری‌های فیروپرولفراایو مختلف شbahت زیادی با یکدیگر دارند (۱۶) و با توجه به این که تاکنون هیچ مطالعه‌ای در مورد اثر این ترکیب گیاهی بر روی فیروز ریوی صورت نگرفته است، لذا این تحقیق با هدف تعیین اثر سیلیمارین بر فیروز ریوی ناشی از بلشوامايسین انجام شد.



نمودار شماره ۱: اثر سیلیمارین بر میزان هیدروکسی پرولین ریه در فیبروز ریوی ناشی از بلئومایسین. ۲ هفته بعد از تجویز داخل تراشه‌ای بلئومایسین (۳/۵ واحد بر کیلوگرم) (BLE) (با یا بدون سیلیمارین (۵۰ میلی گرم بر کیلوگرم به صورت داخل صفاقی) (BLE+SILY))، محتوای هیدروکسی پرولین ریه در موش‌ها اندازه‌گیری شد. گروه‌های کنترل حجم معادلی از سالین (CTL) یا سیلیمارین (SILY) دریافت کردند. نتایج به صورت  $\text{Mean} \pm \text{SEM}$  و با استفاده از ANOVA یک طرفه تعیین شدند.  $*P < 0.05$  در مقایسه با سالین.

وزن ریه افزایش قابل توجهی در گروه بلئومایسین در مقایسه با گروه‌های کنترل سالم داشت ( $P < 0.001$ )؛ درحالی که وزن ریه در گروه درمان شده با سیلیمارین مشابه با ریه‌های سالم بود (نمودار شماره ۲).

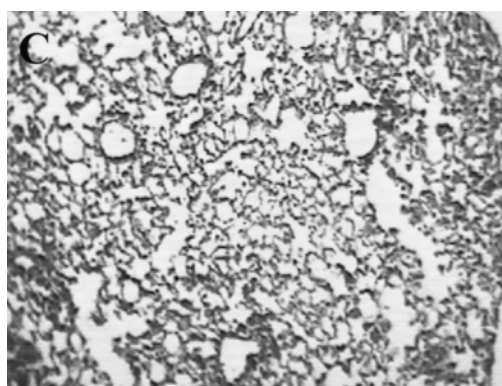


نمودار شماره ۲: اثر سیلیمارین بر وزن ریه در فیبروز ریوی ناشی از بلئومایسین. ۲ هفته بعد از تجویز داخل تراشه‌ای بلئومایسین (۳/۵ واحد بر کیلوگرم) (BLE) (با یا بدون سیلیمارین (۵۰ میلی گرم بر کیلوگرم به صورت داخل صفاقی) (BLE+SILY))، وزن ریه در موش‌ها اندازه‌گیری شد. گروه‌های کنترل حجم معادلی از سالین (CTL) یا سیلیمارین دریافت کردند. نتایج به صورت  $\text{Mean} \pm \text{SEM}$  و با استفاده از ANOVA یک طرفه تعیین شدند.  $*P < 0.05$  در مقایسه با گروه‌های کنترل.

نرمال سالین، اسید کلریدریک ۶ نرمال اضافه گردید و نمونه‌ها در لوله‌های مقاوم به حرارت به مدت ۱۶ ساعت در دمای ۱۲۰ درجه سانتی گراد قرار گرفتند. نمونه‌های هیدرولیز شده با کمک ۲ قطره متیل رد و با استفاده از سود ۲/۵ نرمال خنثی شد (۷-۶ pH). سپس مرحله اکسیداسیون با افزودن ۱ میلی لیتر محلول کلرامین T (۱/۴۱ گرم کلرامین T در ۲۰ میلی لیتر آب، ۳۰ میلی لیتر ایزوپروپیل الکل و ۵۰ میلی لیتر بافر سیترات / استات) به ۲ میلی لیتر از نمونه آغاز گردید. پس از ۲۰ دققه، ۱ میلی لیتر معرف ارلیخ (محلول ۲۰٪ پارادی متیل آمینوبنزالدئید در پرکلریک اسید و ایزوپروپیل الکل) اضافه شده و نمونه‌ها به مدت ۲۰ دقیقه در بن‌ماری با دمای ۶۰ درجه سانتی گراد قرار داده شدند. پس از آن میزان جذب توسط اسپکتروفتومتر در ۵۵۷ نانومتر محاسبه گردید. غلظت‌های ۱۰-۱۰ میکروگرم در میلی لیتر از محلول هیدروکسی پرولین برای تهیه منحنی استاندارد استفاده شده و میزان هیدروکسی پرولین به صورت  $\mu\text{g/lung}$  گزارش گردید. جهت مطالعات بافت‌شناسی نمونه‌های ثابت شده در فرمالین را پس از آب‌گیری و قالب‌گیری در پارافین در حد ۴ میکرومتر برش داده و از آن‌ها لام تهیه شد. لام‌ها پس از رنگ آمیزی هماتوکسیلین-ائوزین با میکروسکوپ سوری مورد بررسی قرار گرفتند. مقادیر کمی به صورت  $\text{Mean} \pm \text{SEM}$  بیان و داده‌ها با استفاده از نرم‌افزار SPSS12 و آزمون ANOVA یک طرفه و آزمون تکمیلی Dunnett تجزیه و تحلیل شدند. مقادیر  $P < 0.05$  معنی‌دار تلقی گردید.

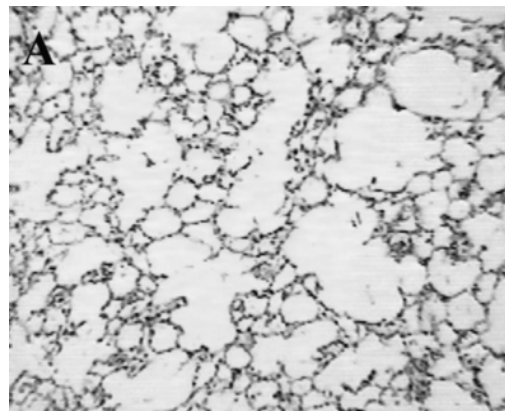
## یافته‌ها

افزایش قابل توجه میزان هیدروکسی پرولین ریه در گروه کنترل فیبروز نسبت به گروه کنترل سالم مشاهده شد ( $P < 0.03$ ). تفاوت معنی‌داری در میزان هیدروکسی پرولین گروه کنترل سالم در مقایسه با گروه سالمی که سیلیمارین دریافت کردند، وجود نداشت. اما سیلیمارین توانست به طور معنی‌داری از افزایش سطح هیدروکسی پرولین ریه در موش‌هایی که بلئومایسین دریافت کرده بودند؛ جلوگیری نماید ( $P < 0.05$ ) (نمودار شماره ۱).



شکل شماره ۳: نمای بافت ریه موش رنگ آمیزی شده با هماتوکسیلین-اژوزین، نمای ریه طبیعی مشاهده می شود (بزرگنمایی  $\times 100$ ).

در بررسی های بافت شناسی ریه های حاصل از گروه بلشو مایسین، تغییرات فیروتیک به صورت ارتضاح سلول های التهابی در فضاهای آلتوئولی، افزایش ضخامت دیواره آلتوئولی و تجمع بافت همبند را نشان دادند (شکل شماره ۱).

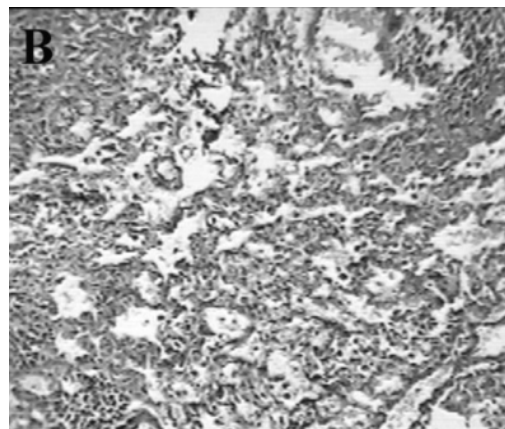


شکل شماره ۱: نمای بافت ریه موش رنگ آمیزی شده با هماتوکسیلین، تغییرات فیروتیک ۲ هفته بعد از تجویز داخل تراشه ای بلشو مایسین (۲/۵ واحد بر کیلوگرم) مشاهده می شود (بزرگنمایی  $\times 100$ ).

## بحث

بیماری های مزمن کبد، پانکراس، روده، کلیه، پوست و ریه معمولاً با به جا گذاردن اثر زخم و از دست رفتن پیشروندۀ عملکرد اندام مذکور همراه بوده و نیازمند درمان های آنتی فیروتیک هستند (۱۶). در تحقیق حاضر بلشو مایسین توانست تجمع کلائز را به میزان ۵۷٪ افزایش دهد؛ در حالی که تجویز سیلیمارین توانست به میزان ۳۷٪ از این افزایش جلوگیری نماید و تجمع کلائز در این گروه فقط به میزان ۲۰٪ افزایش یافت. در تحقیق Boigk و همکارانش تجویز سیلیمارین با دوز ۵۰ میلی گرم بر کیلوگرم به میزان ۳۰ تا ۳۵٪ تجمع کلائز را کاهش داده است (۲۹). Zhao و همکارانش نیز ۴۲/۶٪ کاهش در میزان هیدروکسی پروولین را در گروه سیلیمارین (۵۰ میلی گرم بر کیلوگرم) در مقایسه با گروه مبتلا به فیروز کبدی گزارش کرده اند (۱۴). در مطالعات مذکور سیلیمارین به طور قابل توجهی فیروز کبدی را مهار کرده و برگشت داده است. نتایج حاصل از مطالعه کونی نیز بیان گر اثرات ضد فیروز سیلیمارین در مدل حیوانی فیروز ریوی از طریق جلوگیری از تجمع کلائز و جلوگیری از تغییرات پاتولوژیک بافتی می باشد. همچنین سیلیمارین توانست از طریق پیشگیری از ادم از التهاب ریه جلوگیری نماید. نتایج تحقیقات بر روی سیلیمارین در بیماری های کبدی نشان می دهد که سیلیمارین و ماده فعال تشکیل دهنده آن سیلیسین اثرات فارماکولوژیک متعددی دارد که بسیاری از این اثرات قادرند با مکانیسم های ایجاد کننده فیروز مقابله نمایند. این اثرات عبارتند از: **(الف)** سیلیمارین فعالیت ضد التهابی بر جسته ای دارد و قادر است ادم و

درمان با سیلیمارین توانست تا حدودی از تغییرات پاتولوژیک ناشی از بلشو مایسین جلوگیری کند. در این گروه ارتضاح کمتر سلول های التهابی و کاهش تجمع بافت همبند وجود داشت (شکل شماره ۲)



شکل شماره ۲: نمای بافت ریه موش رنگ آمیزی شده با هماتوکسیلین، B: تغییرات فیروتیک ۲ هفته بعد از تجویز داخل تراشه ای بلشو مایسین (۲/۵ واحد بر کیلوگرم)، مشاهده می شود (بزرگنمایی  $\times 100$ ).

نمای ریه طبیعی در (شکل شماره ۳) مشاهده می شود.

سرباری آهن جلوگیری نمایند (۲۸). و در نهایت سیلیمارین بیان پروکلاژن آلفا-۱ و TIMP-1 را کاهش داده و تجمع کلاژن را در فیروز به تأخیر می‌اندازد (۲۹، ۱۸). در تحقیق فعلی به عنوان یک مطالعه اولیه، دوز رایج سیلیمارین که در تعدادی از مطالعات حیوانی مؤثر بود؛ مورد آزمایش قرار گرفت و جهت بررسی دقیق تر لازم است مطالعه دوز-پاسخ با کاربرد تعداد متنوعی از دوزها در فیروز ریوی انجام پذیرد. هم‌چنین مطالعات بیشتری برای یافتن مکانیسم عمل سیلیمارین در این بیماری مورد نیاز است. نتایج کامل تر امکان کاربرد سیلیمارین را در درمان بیماری مرگ‌بار فیروز ریه در انسان فراهم می‌سازد.

### نتیجه‌گیری

احتمالاً سیلیمارین از طریق جلوگیری از تجمع کلاژن و نیز پیشگیری از التهاب در جلوگیری از تغییرات پاتولوژیک بافتی در مدل فیروز ریوی ناشی از بلشو مايسین در موش مؤثر می‌باشد.

هیپرپلازی را مهار نماید. مهار مهاجرت لکوسیت‌ها و ارتash نوتروفیل‌ها به موضع التهاب در مکانیسم عمل ضد التهابی آن نقش کلیدی دارد. به نظر می‌رسد سیلیمارین سبب ثبت ساختارهای غشایی و مهار آزادسازی واسطه‌های التهابی می‌شود و هم‌چنین قادر است آنزیم‌های سیکلواکسیژناز و لیپوواکسیژناز را مهار کند (۲۱). ب) سیلیمارین بیان سیتوکاین‌های IL-۲ و IL-۴ و RNA پیام‌رسان فاکتور رشد TGF- $\beta$ ۱ را کاهش می‌دهد (۲۲، ۱۸). هم‌چنین از فعال شدن NF- $\kappa$ B و کینازهای مرتبط با نسخه‌برداری ژنی و تکثیر سلولی در اثر TNF- $\alpha$  TGF- $\beta$ ۱ جلوگیری کرده و سمی‌بودن سلولی TNF- $\alpha$  را کم می‌کند (۲۴، ۲۳). ج) سیلیمارین و سیلیبین خواص آنتی‌اکسیدان و شلات‌کننده رادیکال‌های آزاد دارند و با مهار لیپید پراکسیداسیون از پیشرفت آسیب سلولی و عوایقی نظیر فیروز ممانعت می‌کنند (۲۶، ۲۵). د) سبب افزایش محتوای گلوتاتیون و بهبود نسبت گلوتاتیون احیا به اکسید می‌شوند (۲۷). هم‌چنین اثر شلات‌کننده آهن داشته و قادر هستند از تغییرات بیوشیمیایی و عملکردی در فیروز ناشی از

### References:

1. Daba MH, Abdel-Aziz AH, Moustafa AM, Al-Majed AA, Al-Shabanah OA, El-Kashef HA. Effects of L-Carnitin and Ginkgo Biloba Extract (EG b 761) in Experimental Bleomycin-Induced Lung Fibrosis. Pharmacol Res 2002;45(6):461-467.
2. Grande NR, Peao MND, Sa CM, Aguas AP. Lung Fibrosis Induced by Bleomycin: Structural Changes and Overview of Recent Advances. Scanning Microsc 1998;12(3):487-494.
3. Uhal BD. Apoptosis in Lung Fibrosis and Repair. Chest 2002;122(6 Suppl): 293S-298S.
4. Sato E, Koyama S, Masubuchi T, Takamizawa A, Kubo K, Nagai S, et al. Bleomycin Stimulates Lung Epithelial Cells to Release Neutrophil and Monocyte Chemotactic Activities. Am J Physiol 1999;276(6):L941-L950.
5. Oku H, Shimizu T, Kawabata T, Nagira M, Hikita I, Ueyama A, et al. Antifibrotic Action of Pirfenidone and Prednisolone: Different Effects on Pulmonary Cytokines and Growth Factors in Bleomycin-Induced Murine Pulmonary Fibrosis. Eur J Pharmacol 2008;590(1-3):400-408.
6. Kalayarasan S, Sriram N, Sudhandiran G. Diallyl Sulfide Attenuates Bleomycin-Induced Pulmonary Fibrosis: Critical Role of INOS, NF-Kappa B, TNF-alpha and IL-1beta. Life Sci 2008;82(23-24):1142-1153.
7. Tamagawa K, Taooka Y, Hiyama K, Ishioka S, Yamakido M. Inhibitory Effects of a Lecithinized Superoxide Dismutase on Bleomycin-Induced Pulmonary Fibrosis in Mice. Am J Respir Crit Care Med 2000;161(4Pt1):1279-1284.
8. Giri SN, Blaisdell R, Rucker RB, Wang Q, Hyde DM. Amelioration of Bleomycin-Induced Lung Fibrosis in Hamsters by Dietary Supplementation with Taurine and Niacin: Biochemical Mechanisms. Environ Health Perspect 1994;102(Suppl 10):137-147.
9. Teixeira KC, Soares FS, Rocha LG, Silveira PC, Silva LA, Valenca SS, et al. Attenuation of Bleomycin-Induced Lung Injury and Oxidative Stress by N-Acetylcysteine Plus Deferoxamine. Pulm Pharmacol Ther 2008;21(2):309-316.
10. Ikeda H, Wu GY, Wu CH. Evidence That an Iron Chelator Regulates Collagen Synthesis by Decreasing the Stability of Procollagen mRNA. Hepatology 1992;15(2):282-287.

11. Selman M, King TE, Pardo A. Idiopathic Pulmonary Fibrosis: Prevailing and Evolving Hypotheses about Its Pathogenesis and Implication for Therapy. *Ann Intern Med* 2001;134(2):136-151.
12. Morazzoni P, Bombardelli E. Silybum Marianum (*Carduus Marianus*). *Fitoterapia* 1995;66(1):3-42.
13. Tsai JH, Liu JY, Wu TT, Ho PC, Huang CY, Shyu JC, et al. Effects of Silymarin on the Resolution of Liver Fibrosis Induced by Carbon Tetrachloride in Rats. *J Viral Hepat* 2008;15(7):508-514.
14. Zhao XY, Wang BE, Wang TL, Li XM. Inhibitory Effects of Silymarin on Hepatic Fibrosis Induced by Dimethylnitrosamine: Experiment with Rats. *Zhonghua Yi Xue Za Zhi* 2006;86(36):2563-2566.
15. Di Sario A, Bendia E, Taffetani S, Omenetti A, Candelaresi C, Marzoni M, et al. Hepatoprotective and Antifibrotic Effect of a New Silybin-Phosphatidylcholine-Vitamin E Complex in Rats. *Dig Liver Dis* 2005;37(11):869-876.
16. Schuppan D, Koda M, Bauer M, Hahn EG. Fibrosis of Liver, Pancreas and Intestine: Common Mechanisms and Clear Targets? *Acta Gastroenterol Belg* 2000;63(4):366-370.
17. Oury TD, Thakker K, Menache M, Chang L, Crapo JD, Day BJ. Attenuation of Bleomycin-Induced Pulmonary Fibrosis by a Catalytic Antioxidant Metalloporphyrin. *Am J Respir Cell Mol Biol* 2001;25(2):164-169.
18. Jia JD, Bauer M, Cho JJ, Ruehl M, Milani S, Boigk G, et al. Antifibrotic Effect of Silymarin in Rat Secondary Biliary Fibrosis Is Mediated by Downregulation of Procollagen. *Alpha1 and TIMP-1* 2001;35(3):392-398.
19. Tanino Y, Makita H, Miyamoto K, Betsuyaku T, Ohtsuka Y, Nishihira J, et al. Role of Macrophage Migration Inhibitory Factor in Bleomycin-Induced Lung Injury and Fibrosis in Mice. *Am J Physiol Lung Cell Mol Physiol* 2002;283(1):L156-L162.
20. Woessner JF. The Determination of Hydroxyproline in Tissue and Protein Samples Containing Small Proportions of This Imino Acid. *Arch Biochem Biophys* 1961;93:440-447.
21. De La Puerta R, Martinez E, Bravo L, Ahumada MC. Effect of Silymarin on Different Acute Inflammation Models and in Leukocyte Migration. *J Pharm Pharmacol* 1996;48(9):968-970.
22. Johnson VJ, Osuchowski MF, He Q, Sharma RP. Physiological Responses to a Natural Antioxidant Flavonoid Mixture, Silymarin, in BALB/c Mice: II. Alterations in Thymic Differentiation Correlate with Changes in C-myc Gene Expression. *Planta Med* 2002;68(11):961-965.
23. Manna SK, Mukhopadhyay A, Van NT, Aggarwal BB. Silymarin Suppresses TNF-Induced Activation of NF-kappaB, C-Jun N-Terminal Kinase and Apoptosis. *J Immunol* 1999;163(12):6800-6809.
24. Zhang JP, Hu ZL, Feng ZH, Lin W, Yu XB, Qian DH. Effect of Silymarin on Liver Damage, Production and Activity of Tumor Necrosis Factor. *Yao Xue Xue Bao* 1996;31(8):577-580.
25. Basaga H, Poli G, Tekkaya C, Aras I. Free Radical Scavenging and Antioxidative Properties of Silybin Complexes on Microsomal Lipid Peroxidation. *Cell Biochem Funct* 1997;15(1):27-33.
26. Pietrangelo A, Borella F, Casalgrandi G, Montosi G, Ceccarelli D, Gallesi D, et al. Antioxidant Activity of Silybin in Vivo During Long-Term Iron Overload in Rats. *Gastroenterology* 1995;109(6):1941-1949.
27. Valenzuela A, Aspillaga M, Vial S, Guerra R. Selectivity of Silymarin on the Increase of the Glutathione Content in Different Tissues of the Rat. *Planta Med* 1989;55(5):420-422.
28. Borsari M, Gabbi C, Ghelfi F, Grandi R, Saladini M, Severi S, et al. Silybin, A New Iron-Chelating Agent. *J Inorg Biochem* 2001;85(2-3):123-129.
29. Boigk G, Stroedter L, Herbst H, Waldschmidt J, Riecken EO, Schuppan D. Silymarin Retards Collagen Accumulation in Early and Advanced Biliary Fibrosis Secondary to Complete Bile Duct Obliteration in Rats. *Hepatology* 1997;26(3):643-649.